

ИЗГИБ ПЛИТЫ С ПРЯМОЛИНЕЙНЫМ ТОНКОСТЕННЫМ ВКЛЮЧЕНИЕМ

Д. В. ГРИЛИЦКИЙ, М. С. ДРАГАН, В. К. ОПАНАСОВИЧ

(Львов)

Исследуется напряженное состояние плиты, находящейся под действием равномерно распределенных моментов, с прямолинейным тонкостенным упругим включением конечной длины. Задача сведена к системе двух интегро-дифференциальных уравнений типа Прандтля, решение которой строится методом ортогональных многочленов.

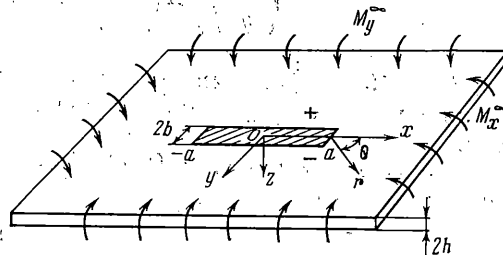
Приведены формулы и графики для коэффициентов интенсивности напряжений. Путем предельного перехода из общего случая получены решения задачи для жесткого включения, разреза и однородной плиты.

1. Рассмотрим упругое равновесие изотропной плиты толщиной $2h$ с тонкостенным упругим включением длины $2a$, ширины $2b$ и толщины $2h$, находящейся под воздействием равномерно распределенных на бесконечности изгибающих моментов M_x^∞ , M_y^∞ (фиг. 1). В дальнейшем величинам, характеризующим тонкостенное включение, будем приписывать индекс нуль. Граничное значение функций на верхнем берегу включения будем обозначать знаком плюс, на нижнем — знаком минус. Сегмент действительной оси $[-a, a]$ обозначим через L .

Предположим, что на берегах включения имеют место следующие условия:

$$\begin{aligned} (M_y)_0^\pm &= (M_y)^\pm, \\ \left(N_y + \frac{\partial H_{xy}}{\partial x}\right)_0^\pm &= \\ &= \left(N_y + \frac{\partial H_{xy}}{\partial x}\right)^\pm \\ W_0^\pm &= W^\pm \end{aligned} \quad (1.1)$$

$$\left(\frac{\partial W}{\partial y}\right)_0^\pm = \left(\frac{\partial W}{\partial y}\right)^\pm$$



Фиг. 1

При отсутствии внешней нормальной нагрузки упругое состояние плиты можно выразить через две функции комплексного переменного $\Phi(z)$ и $\Omega(z)$ по формулам [1]:

$$\begin{aligned} \kappa\Phi(z) - \Omega(\bar{z}) - (z - \bar{z})\overline{\Phi'(z)} &= -\frac{1}{D(1-\nu)}f \\ \Phi(z) + \Omega(\bar{z}) + (z - \bar{z})\overline{\Phi'(z)} &= \frac{\partial g}{\partial x} \end{aligned} \quad (1.2)$$

$$f = M_y + i \left(H_{xy} + \int_{-a}^x N_y(x) dx \right), \quad g = i \left(\frac{\partial W}{\partial y} + i \frac{\partial W}{\partial x} \right)$$

$$\Omega(z) = \Phi(z) + \bar{z}\Phi'(z) + \bar{\Psi}(z), \quad D = \frac{2Eh^3}{3(1-\nu^2)}, \quad \kappa = \frac{3+\nu}{1-\nu}$$

где E — модуль Юнга, ν — коэффициент Пуассона.

Для больших $|z|$ функции $\Phi(z)$ и $\Omega(z)$ имеют представление

$$\Phi(z) = \Gamma + O\left(\frac{1}{z^2}\right), \quad \Omega(z) = \Gamma + \Gamma' + O\left(\frac{1}{z^2}\right) \quad (1.3)$$

$$\Gamma = -\frac{M_x^\infty + M_y^\infty}{4D(1+\nu)}, \quad \Gamma' = \frac{M_y^\infty - M_x^\infty}{2D(1-\nu)}$$

Используя для включения формулы (1.2) и пренебрегая величинами высших порядков малости по сравнению с b , можем записать

$$f_0^+ - f_0^- = -2ibD_0(1-\nu_0)M'(x), \quad x \in L \quad (1.4)$$

$$f_0^+ + f_0^- = -\frac{2D_0(1-\nu_0)\lambda}{1+\kappa_0} [2\kappa_0 K(x) + (\kappa_0 - 1)M(x) -$$

$$- 2\overline{K(x)} - 2\overline{M(x)}], \quad x \in L$$

$$\left(\frac{\partial g}{\partial x}\right)_0^+ + \left(\frac{\partial g}{\partial x}\right)_0^- =$$

$$= \frac{2}{(1+\kappa_0)} [(1-\kappa_0)K(x) + 2M(x) + 2\overline{K(x)} + 2\overline{M(x)}], \quad x \in L$$

$$\left(\frac{\partial g}{\partial x}\right)_0^+ - \left(\frac{\partial g}{\partial x}\right)_0^- = 2ibK'(x), \quad x \in L$$

где $M(x)$, $K(x)$ — функции, подлежащие определению.

Для пластинки граничные условия с берегов включения снесем на ось ox .

Используя соотношения (1.1), (1.2) и (1.4), приходим к следующим краевым задачам:

$$[\Phi(x) - \Omega(x)]^+ - [\Phi(x) - \Omega(x)]^- = 2ibK'(x), \quad x \in L \quad (1.5)$$

$$[\kappa\Phi(x) + \Omega(x)]^+ - [\kappa\Phi(x) + \Omega(x)]^- = \frac{2\mu_0 ib}{\mu} M'(x), \quad x \in L$$

$$[\Phi(x) + \Omega(x)]^+ + [\Phi(x) + \Omega(x)]^- =$$

$$= \frac{2}{(1+\kappa_0)} [(1-\kappa_0)K(x) + 2M(x) + 2\overline{K(x)} + 2\overline{M(x)}], \quad x \in L \quad (1.6)$$

$$\kappa[\Phi^+(x) + \Phi^-(x)] - [\Omega^+(x) + \Omega^-(x)] =$$

$$= \frac{2\mu_0}{\mu(1+\kappa_0)} [2\kappa_0 K(x) + (\kappa_0 - 1)M(x) - 2\overline{K(x)} - 2\overline{M(x)}], \quad x \in L$$

Здесь μ и μ_0 — постоянные Ляме соответственно для материалов плиты и включения.

Решая задачи линейного сопряжения (1.5), получаем

$$\begin{aligned} \Phi(z) &= \frac{b}{\pi(1+\kappa)} \left[\int_{-a}^a \frac{K'(t) dt}{t-z} + \frac{\mu_0}{\mu} \int_{-a}^a \frac{M'(t) dt}{t-z} \right] + \Gamma \\ \Omega(z) &= \frac{b}{\pi(1+\kappa)} \left[-\kappa \int_{-a}^a \frac{K'(t) dt}{t-z} + \frac{\mu_0}{\mu} \int_{-a}^a \frac{M'(t) dt}{t-z} \right] + \Gamma + \Gamma' \end{aligned} \quad (1.7)$$

Подставляя выражения функции $\Phi(z)$ и $\Omega(z)$ (1.7) в соотношения (1.6), получаем систему интегро-дифференциальных уравнений типа Прандтля для определения неизвестных функций $K(x)$ и $M(x)$:

$$\begin{aligned} \frac{1}{(1+\kappa_0)} [(1-\kappa_0)K(x) + 2M(x) + \overline{2K(x)} + \overline{2M(x)}] - \frac{b(1-\kappa)}{\pi(1+\kappa)} \times \\ \times \int_{-a}^a \frac{K'(t) dt}{t-x} - \frac{2b\mu_0}{\pi(1+\kappa)\mu} \int_{-a}^a \frac{M'(t) dt}{t-x} = 2\Gamma + \Gamma', \quad x \in L \\ \frac{\mu_0}{\mu(1+\kappa_0)} [2\kappa_0 K(x) + (\kappa_0 - 1)M(x) - \overline{2K(x)} - \overline{2M(x)}] - \frac{2b\kappa}{\pi(1+\kappa)} \times \\ \times \int_{-a}^a \frac{K'(t) dt}{t-x} - \frac{\mu_0 b(\kappa - 1)}{\pi\mu(1+\kappa)} \int_{-a}^a \frac{M'(t) dt}{t-x} = (\kappa - 1)\Gamma - \Gamma', \quad x \in L \end{aligned} \quad (1.8)$$

Следуя [2], решения системы уравнений (1.8) будем искать в виде

$$K'(ax) = (1-x^2)^{-1/2} \sum_{m=0}^{\infty} X_m T_m(x), \quad M'(ax) = (1-x^2)^{-1/2} \sum_{m=0}^{\infty} Y_m T_m(x) \quad (1.9)$$

Откуда находим

$$\begin{aligned} K(ax) &= K_0 + X_0 \arcsin x - \sqrt{1-x^2} \sum_{m=1}^{\infty} \frac{1}{m} X_m U_{m-1}(x) \\ M(ax) &= M_0 + Y_0 \arcsin x - \sqrt{1-x^2} \sum_{m=1}^{\infty} \frac{1}{m} Y_m U_{m-1}(x), \quad |x| \leq 1 \end{aligned} \quad (1.10)$$

где $T_m(x)$ и $U_m(x)$ — полиномы Чебышева соответственно первого и второго рода; M_0, K_0, X_m, Y_m — неизвестные коэффициенты.

Подставляя соотношения (1.9) в формулы (1.7), получим

$$\begin{aligned} \Phi(z) &= -\frac{b}{a(1+\kappa)} \sum_{m=1}^{\infty} \left(X_m + \frac{\mu_0}{\mu} Y_m \right) \left[\frac{aT_m(z/a)}{\sqrt{z^2-a^2}} - U_{m-1}\left(\frac{z}{a}\right) \right] + \Gamma \\ \Omega(z) &= \frac{b}{a(1+\kappa)} \sum_{m=1}^{\infty} \left(\kappa X_m - \frac{\mu_0}{\mu} Y_m \right) \left[\frac{aT_m(z/a)}{\sqrt{z^2-a^2}} - U_{m-1}\left(\frac{z}{a}\right) \right] + \Gamma + \Gamma' \end{aligned} \quad (1.11)$$

Исходя из разложений (1.3) и учитывая зависимости (1.11), приходим к равенству $X_0=Y_0=0$.

Используя формулы (1.9), (1.10) и следуя [2], на основании соотношений (1.8) получаем бесконечную квазирегулярную систему алгебраических уравнений для определения коэффициентов разложения X_m, Y_m :

$$\frac{2}{(1+\kappa_0)} \sum_{m=1}^{\infty} \frac{1}{m} H(m, n) [(1-\kappa_0)X_m + 2Y_m + 2\bar{X}_m + 2\bar{Y}_m] + C_1 X_n + C_2 Y_n = A_n \quad (1.12)$$

$$\frac{2\mu_0}{\mu(1+\kappa_0)} \sum_{m=1}^{\infty} \frac{1}{m} H(m, n) [2\kappa_0 X_m + (\kappa_0 - 1)Y_m - 2\bar{X}_m - 2\bar{Y}_m] + C_3 X_n + C_4 Y_n = B_n$$

$H(m, n) = 0$, если $(m+n)$ — нечетное

$$H(m, n) = \frac{1}{(m+n-1)(m+n+1)} - \frac{1}{(m-n-1)(m-n+1)}$$

если $(m+n)$ — четное

$$A_1 = -\pi[(2\Gamma + \Gamma') - A_0], \quad B_1 = \pi[(\Gamma' - (\kappa - 1)\Gamma) + B_0], \quad A_n = B_n = 0 \quad (n \geq 2)$$

$$A_0 = \frac{1}{(1+\kappa_0)} [(1-\kappa_0)K_0 + 2M_0 + 2\bar{K}_0 + 2\bar{M}_0]$$

$$B_0 = \frac{\mu_0}{\mu(1+\kappa_0)} [2\kappa_0 K_0 + (\kappa_0 - 1)M_0 - 2\bar{K}_0 - 2\bar{M}_0]$$

$$C_1 = \frac{\pi b(1-\kappa)}{a(1+\kappa)}, \quad C_2 = \frac{2\pi b\mu_0}{a\mu(1+\kappa)}$$

$$C_3 = \frac{2\pi b\kappa}{a(1+\kappa)}, \quad C_4 = \frac{\pi b\mu_0(\kappa-1)}{a\mu(1+\kappa)}$$

Постоянные A_0 и B_0 примем в виде

$$A_0 = (2\Gamma + \Gamma') \frac{\min(\mu_0, \mu)}{\mu_0}, \quad B_0 = [(\kappa - 1)\Gamma - \Gamma'] \frac{\min(\mu_0, \mu)}{\mu}$$

Следуя [3], напряженное состояние в окрестности конца включения a в полярной системе координат r, θ (фиг. 1) можно представить в следующем виде:

$$\begin{aligned} \begin{pmatrix} \sigma_r \\ \tau_{r\theta} \end{pmatrix} &= -\frac{1}{4\kappa \sqrt{2\pi r}} \frac{z}{h} \left\{ \begin{aligned} & \left[-\cos \frac{3}{2}\theta - \left(\frac{3+5\nu}{1-\nu}\right) \cos \frac{\theta}{2} \right] \\ & \left[\cos \frac{3}{2}\theta - \left(\frac{5+3\nu}{1-\nu}\right) \cos \frac{\theta}{2} \right] \\ & \left[\sin \frac{3}{2}\theta + \sin \frac{\theta}{2} \right] \end{aligned} \right\} K_1 + \\ &+ \left\{ \begin{aligned} & \left[3 \sin \frac{3}{2}\theta + \left(\frac{3+5\nu}{1-\nu}\right) \sin \frac{\theta}{2} \right] \\ & \left[-3 \sin \frac{3}{2}\theta + \left(\frac{5+3\nu}{1-\nu}\right) \sin \frac{\theta}{2} \right] \\ & \left[3 \cos \frac{3}{2}\theta + \cos \frac{\theta}{2} \right] \end{aligned} \right\} K_2 + \\ &+ \left\{ \begin{aligned} & \left[(1+2\kappa) \cos \frac{3}{2}\theta - \left(\frac{3+5\nu}{1-\nu}\right) \cos \frac{\theta}{2} \right] \\ & \left[-(1+2\kappa) \cos \frac{3}{2}\theta - \left(\frac{5+3\nu}{1-\nu}\right) \cos \frac{\theta}{2} \right] \\ & \left[-(1+2\kappa) \sin \frac{3}{2}\theta + \sin \frac{\theta}{2} \right] \end{aligned} \right\} K_3 + \end{aligned}$$

$$\left. \begin{aligned} & \left((1-2\kappa) \sin \frac{3}{2} \theta + \left(\frac{3+5\nu}{1-\nu} \right) \sin \frac{\theta}{2} \right) \\ & - \left((1-2\kappa) \sin \frac{3}{2} \theta + \left(\frac{5+3\nu}{1-\nu} \right) \sin \frac{\theta}{2} \right) \\ & (1-2\kappa) \cos \frac{3}{2} \theta + \cos \frac{\theta}{2} \end{aligned} \right\} K_4 \Bigg\} + O(1)$$

$$K_1 - iK_2 = \sqrt{\frac{\pi}{a}} \frac{\kappa b E h \mu_0}{\mu(\kappa-1)} \sum_{m=1}^{\infty} Y_m, \quad K_3 - iK_4 = \sqrt{\frac{\pi}{a}} \frac{b \kappa E h}{(\kappa-1)} \sum_{m=1}^{\infty} X_m$$

где K_j ($j=1, 2, 3, 4$) — коэффициенты интенсивности напряжений.

2. Рассмотрим некоторые частные случаи.

1. Плита с трещиной. Переходя в формулах (1.8) к пределу при $\mu_0 \rightarrow 0$, получаем

$$\frac{1}{(1+\kappa_0)} \left[(1-\kappa_0) K(x) + 2M(x) + 2\overline{K(x)} + 2\overline{M(x)} \right] - \frac{b(1-\kappa)}{\pi(1+\kappa)} \int_{-a}^x \frac{K'(t) dt}{t-x} = 2\Gamma + \Gamma', \quad x \in L \tag{2.1}$$

$$\int_{-a}^x \frac{K'(t) dt}{t-x} = -\frac{\pi(1+\kappa)}{2b\kappa} [(\kappa-1)\Gamma - \Gamma'], \quad x \in L \tag{2.2}$$

Решая сингулярное интегральное уравнение (2.2) и подставляя это решение в формулы (1.7), находим

$$\Phi(z) = \frac{1}{2\kappa} \left[\frac{((\kappa-1)\Gamma - \Gamma')z}{\sqrt{z^2 - a^2}} + (\kappa+1)\Gamma + \Gamma' \right] \tag{2.3}$$

$$\Omega(z) = -\frac{1}{2} \left[\frac{((\kappa-1)\Gamma - \Gamma')z}{\sqrt{z^2 - a^2}} - (\kappa+1)\Gamma - \Gamma' \right]$$

Выражения для функций $\Phi(z)$ и $\Omega(z)$ (2.3) совпадают с формулами, приведенными в [1].

2. Случай однородной плиты, т. е. плиты без включения, можно получить двумя путями: либо из формул (1.11), положив в них $b=0$, либо с помощью предельного перехода в системе уравнений (1.12), когда $\mu_0 = \mu$. В последнем случае система алгебраических уравнений (1.12) приводит к решению $X_i = Y_i = 0$ ($i=1, 2, \dots$), т. е. $K'(t) = M'(t) = 0$, и поэтому, как видно из (1.7), $\Phi(z) = \Gamma$, $\Omega(z) = \Gamma + \Gamma'$.

3. Плита с абсолютно жестким тонким включением. Сделаем в системе уравнений (1.8) замену $M(x) = R(x)/\mu_0$ и перейдем к пределу при $\mu_0 \rightarrow \infty$; в результате получим

$$\int_{-a}^x \frac{R'(t) dt}{t-x} = -\frac{\pi(1+\kappa)\mu}{2b} (2\Gamma + \Gamma'), \quad x \in L, \quad K(x) = 0 \tag{2.4}$$

Решая сингулярное интегральное уравнение (2.4) и подставляя его решение в формулы (1.7), после несложных преобразований находим

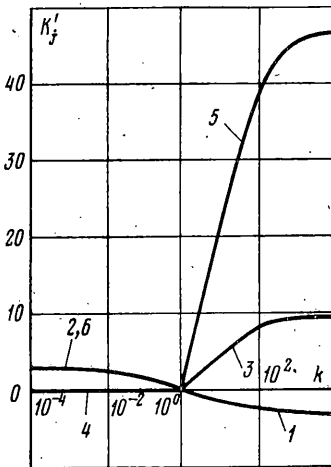
$$\Phi(z) = \frac{(2\Gamma + \Gamma')z}{2\sqrt{z^2 - a^2}} - \frac{1}{2} \Gamma', \quad \Omega(z) = \Phi(z) + \Gamma' \tag{2.5}$$

Выражения для функций $\Phi(z)$ и $\Omega(z)$ (2.5), дают решение задачи для плиты, защемленной по отрезку прямой [1].

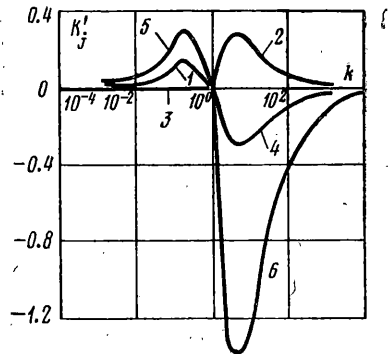
3. На ЭВМ М-222 был проведен численный анализ решения задачи, результаты которого представлены на фиг. 2, 3.

Вычисления проводились при следующих значениях параметров: $a/b=10$, $\nu=\nu_0=1/3$.

На фиг. 2, 3 представлена зависимость коэффициентов интенсивности напряжений $K_j' = h^2 K_j / (M\sqrt{a})$ от относительной жесткости $k = \mu_0/\mu$. Кри-



Фиг. 2



Фиг. 3

вые 1, 2 построены при $M_x^\infty=0$ ($M=M_y^\infty$), кривые 3, 4 — при $M_y^\infty=0$ ($M=M_x^\infty$), а кривые 5, 6 — при $M_x^\infty/M_y^\infty=5$ ($M=M_y^\infty$). Четным номерам кривых соответствует значение K_2' , нечетным — K_1' . Кривые на фиг. 3 представляют продолжение кривых фиг. 2, но только в другом масштабе. В данном случае нагружения $K_2'=K_4'=0$.

Поступила 12 VI 1978:

ЛИТЕРАТУРА

1. Прусов И. А. Метод сопряжения в теории плит. Минск, Изд-во Белорусск. ун-та, 1975.
2. Морарь Г. А., Попов Г. Я. К контактной задаче для полуплоскости с упругим конечным креплением. ПММ, 1970, т. 34, вып. 3.
3. Черепанов Г. П. Механика хрупкого разрушения. М., «Наука», 1974.